#### — ЭКСПЕРИМЕНТАЛЬНЫЕ СТАТЬИ —

УДК 577.114.083+579.252

## СТРУКТУРНОЕ И ГЕНЕТИЧЕСКОЕ РОДСТВО О-АНТИГЕНОВ ТИПОВЫХ ШТАММОВ AZOSPIRILLUM AGRICOLA CC-HIH038 И AZOSPIRILLUM DOEBEREINERAE GSF71

© 2024 г. Е. Н. Сигида<sup>а, \*</sup>, В. С. Гринев<sup>а, b</sup>, М. С. Кокоулин<sup>c</sup>, С. А. Коннова<sup>а, b</sup>, Ю. П. Федоненко<sup>а</sup>

<sup>а</sup>Институт биохимии и физиологии растений и микроорганизмов, ФИЦ СНЦ РАН, 410049, Саратов, Россия <sup>b</sup>Саратовский национальный исследовательский государственный университет им. Н.Г. Чернышевского, 410012, Саратов, Россия

<sup>c</sup>Тихоокеанский институт биоорганической химии имени Г.Б. Елякова ДВО РАН, 690022, Владивосток, Россия \*e-mail: sigida\_e@ibppm.ru

Поступила в редакцию 06.06.2024 г. После доработки 19.06.2024 г. Принята к публикации 24.06.2024 г.

Из клеток типового штамма ризобактерий *Azospirillum agricola* CC-HIH038<sup>T</sup> фенольной экстракцией выделен липополисахарид. Мягким кислотным гидролизом липополисахарида с последующим хроматографическим фракционированием получен О-специфический полисахарид. По данным моносахаридного анализа, включающего определение абсолютных конфигураций, одномерной и двумерной  $^{1}$ H и  $^{13}$ C ЯМР спектроскопии установлена структура повторяющегося звена О-специфического полисахарида *A. agricola* CC-HIH038<sup>T</sup>:  $\rightarrow$ 3)- $\alpha$ -L-Rhap2Ac-( $^{1}\rightarrow$ 3)- $\alpha$ -L-Rhap-( $^{1}\rightarrow$ 3)- $\alpha$ -L-Rhap-( $^{1}\rightarrow$ 3)- $\beta$ -D-GlcpNAc6Ac-( $^{1}\rightarrow$ 4, структурно родственного *A. doebereinerae* GSF71<sup>T</sup>. На основании анализа данных полногеномного секвенирования штаммов *A. agricola* CC-HIH038<sup>T</sup> и *A. doebereinerae* GSF71<sup>T</sup> выявлены локусы биосинтеза О-специфических полисахаридов, характеризующиеся схожей организацией и высоким уровнем гомологии генов, подтверждающие общность структур О-антигенов этих штаммов.

**Ключевые слова:** *Azospirillum*, липополисахарид, структура О-специфического полисахарида, кластер генов биосинтеза О-антигена

**DOI:** 10.31857/S0026365624060116

#### ПРИНЯТЫЕ СОКРАЩЕНИЯ

ДПС — дезацилированный полисахарид; ЛПС — липополисахарид; ОПС — О-специфический полисахарид; Ds-Na-ПAAГ электрофорез — электрофорез в полиакриламидном геле с додецилсульфатом натрия; GT — гликозилтрансфераза; ЯМР — ядерный магнитный резонанс; HSQC — протон-детектированная гетероядерная одноквантовая корреляция; ROESY — двумерная спектроскопия ядерного эффекта Оверхаузера во вращающейся системе координат; COSY — корелляционная спектроскопия; TOCSY — тотальная корреляционная спектроскопия; HMBC — гетероядерная корреляция через несколько связей;  $\delta_{\rm C}$ ,  $\delta_{\rm H}$  — значения химических сдвигов атомов  $^{13}$ С и  $^{14}$ Н соответственно.

Азотфиксирующие свободноживущие грамотрицательные бактерии р. *Azospirillum* широко известны

как типичные представители группы бактерий, стимулирующих рост растений, в английской аббревиатуре PGPR (plant growth promoting rhizobacteria). Отсутствие строгой специфичности азоспирилл в отношении растения-хозяина, очевидно, опрелеляется универсальностью многих бактериальных эффектов к широкому кругу потенциальных растений-партнеров. Механизм стимулирующего воздействия бактерий на растения активно исследуется, и азоспириллы являются признанными модельными объектами ассоциативных растительно-бактериальных взаимодействий (Fukami et al., 2018; Pedraza et al., 2020). Род Azospirillum включает 25 валидированных видов, изолированных преимущественно из сельскохозяйственных почв, ризосферы и корней растений, а также из таких разнообразных мест обитания, как загрязненные почвы, продукты ферментации, сульфидные и горячие источники, болота и озера, карстовые пещеры и микробные топливные элементы (Nievas et al., 2023). Спектр физиологической активности азоспирилл, посредством которого они оказывают стимулирующее действие на рост и развитие растений, включает продукцию фитогормонов, фиксацию атмосферного азота, солюбилизацию фосфатов, оптимизацию минерального питания растений, секрецию вторичных метаболитов, являющихся сигнальными молекулами, увеличивающих пролиферацию корневой системы, индуцирующих системную устойчивость растений и т.д. (Cassán et al., 2020).

С истоков изучения биохимии взаимодействия растений и свободноживущих диазотрофных бактерий многие научные изыскания были направлены на выявление молекул, выполняющих ведущую роль в выборе партнера ассоциативного симбиоза, и/или метаболитов, играющих ключевую роль на различных этапах взаимодействия. Среди основных претендентов на эту роль в большинстве исследований оказались гликополимеры поверхности бактерий (Caroff, Novikov, 2020). Для многих эффективных штаммов азоспирилл, как показали структурные исследования полисахаридов последних десятилетий (Федоненко и соавт., 2015), источником высокомолекулярных внеклеточных полисахаридов (полисахаридов капсулы и экстраклеточных полисахаридов) являются мембранные липополисахариды (ЛПС) (Konnova et al., 1994). Это стимулирует интерес к изучению структуры ЛПС и локализации генов его биосинтеза.

Липополисахариды (ЛПС) азоспирилл – основные структурные компоненты внешней мембраны грамотрицательных бактерий, покрывающие значительную часть поверхности бактериальной клетки, - вовлечены в начальные стадии формирования ассоциаций с растениями-хозяевами (Caroff, Novikov, 2020). Амфифильная молекула ЛПС гидрофобным компонентом, липидом А, встроена во внешнюю мембрану бактерий, а гидрофильным фрагментом — О-специфическим полисахаридом (ОПС), связанным с липидом А через олигосахарид кора, — экспонируется в окружающую среду. Бактериальные ОПС, в том числе ОПС азоспирилл, характеризуются высоким структурным разнообразием (Федоненко и соавт., 2015). Генетика биосинтеза ОПС подробно изучена для энтеробактерий, тогда как для почвенных микроорганизмов сведения об организации генов, ответственных за сборку ОПС и его экспорт на внешнюю мембрану, фрагментарны. За последние годы нами были получены данные о структурах ОПС типовых штаммов двенадцати видов азоспирилл, а для трех видов — A. zeae  $N7^{T}$ , A. melinis TMCY  $0552^{T}$  и A. palustre  $B2^{T}$  — был проведен анализ генов, вовлеченных в биосинтез их ОПС (Сигида и соавт., 2022).

Целью настоящей работы являлось изучение структуры и характеристика генов биосинтеза ОПС типового штамма бактерий A. agricola CC-HIH038<sup>T</sup>, выделенного из образцов культивируемой почвы, собранных на острове Тайвань, и сравнение с таковыми для ранее исследованных штаммов азоспирилл.

### МАТЕРИАЛЫ И МЕТОДЫ ИССЛЕДОВАНИЯ

Изучаемый штамм, условия культивирования бактерий и выделение липополисахарида. Штамм Azospirillum agricola CC-HIH038<sup>T</sup> (IBPPM 625) предоставлен Коллекцией ризосферных микроорганизмов ИБФРМ РАН (http://collection.ibppm. ru). Культивирование бактерий проводили в колбах Эрленмейера в жидкой малатно-солевой среде с витаминами (Konnova et al., 1994) до окончания экспоненциальной фазы роста с использованием шейкера-инкубатора ES-20/60 ("BioSan", Латвия) при температуре 30°C и 120 об./мин. Клетки осаждали центрифугированием при 3000 g в течение 30 мин с применением центрифуги Allegra X-30R ("Beckman Coulter", США), ресуспендировали в 0.15 M растворе NaCl; механическим перемешиванием удаляли с поверхности капсульный материал, как описано ранее (Konnova et al., 1994). Клетки высушивали ацетоном и тонко диспергировали.

ЛПС выделяли из высушенных ацетоном бескапсульных клеток горячим 45%-м водным раствором фенола без разделения слоев (Кульшин и соавт., 1987). Экстракты освобождали от остатков фенола диализом с помощью мембран MEMBRA-CEL® с пределом исключения 14 кДа ("Viscase", Франция), концентрировали на роторном испарителе Laborota 4000 ("Heidolph", Германия). Экстракт ЛПС титровали 40%-ой ССІ<sub>3</sub>СООН до конечного значения рН 2.7 и декантировали после осаждения белков центрифугированием, диализовали и лиофилизовали на сушке Bench Top 2K ("VirTis", США).

Получение О-специфического полисахарида осуществляли мягким кислотным гидролизом ЛПС 2%-ой СН<sub>3</sub>СООН при 100°С в течение 4 ч с последующим осаждением центрифугированием (12000 g, 30 мин) нерастворимого в воде липида А. Водорастворимую часть гидролизата разделяли гель-хроматографией на колонке с Toyopearl TSK HW-50 (S) ("Tosoh Bioscience', Япония) в 1% АсОН. Элюцию контролировали с помощью дифференциального проточного рефрактометра ("Knauer", Германия). Фракцию высокомолекулярного ОПС концентрировали и лиофилизировали.

Дезацилирование препарата ОПС проводили в 12.5% растворе NH<sub>4</sub>OH при 37°C в течение 16 ч. Полученный препарат дезацилированного полисахаридида (ДПС) выделяли на колонке с Toyopearl

TSK HW-50 (S) ("Tosoh Bioscience", Япония) в 1% AcOH.

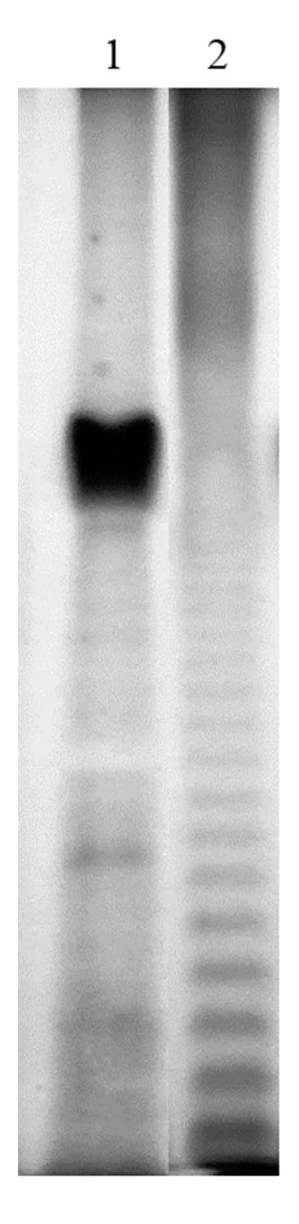
**Ds-Na-ПААГ** электрофорез препаратов ЛПС выполняли, как описано ранее (Hitchcock, Brown, 1983). Визуализацию компонентов осуществляли окрашиванием гелей красителем на основе азотнокислого серебра (Tsai, Frasch, 1982).

Газо-жидкостная хроматография. Анализ моносахаридого состава и абсолютных конфигураций сахаров после гидролиза ОПС 2М СГ<sub>3</sub>СООН ( $120^{\circ}$ С, 2 ч) осуществляли методом ГЖХ ацетатов полиолов (Sawardeker et al., 1965) и ацетилированных 2-(S)-октилгликозидов (Leontein et al., 1978) на хроматографе GC-2010 ("Shimadzu", Япония) с капиллярной колонкой DB-5 ("Agilent", США). Градиент температуры от  $160^{\circ}$ С (1 мин) до  $290^{\circ}$ С, скорость нагрева  $7^{\circ}$ С/мин.

Состав жирных кислот ЛПС определяли методом ГЖХ на хроматографе GC-2010 ("Shimadzu", Япония), снабженном колонкой DB-5 ("Agilent", США). Градиент температуры от 110°С (5 мин) до 290°С (30 мин), скорость нагрева 5°С/мин. Метилирование выполняли методом, описанным в работе (Mayer et al., 1985).

**ЯМР-спектроскопия.** Спектры ЯМР записывали на спектрометре Avance-700 II ("Bruker", Германия) в растворе 99.96%-ой  $D_2O$  при 30°С, (внутренний стандарт — триметилсилилпропаноат- $d_4$ ,  $\delta_C$  —1.6 и  $\delta_H$  0.0). Образцы предварительно лиофилизовали дважды из 99.9%-ой  $D_2O$ . Двумерные спектры записывали с использованием стандартного математического обеспечения компании "Bruker" (Германия); для сбора и обработки данных использовали программу TOPSPIN 2.1. В экспериментах TOCSY и ROESY время смешивания составляло 150 и 200 мс соответственно.

Анализ генов биосинтеза О-антигенов. Гены биосинтеза L-Rha были извлечены из полногеномных сиквенсов A. agricola CC-HIH038 $^{\mathrm{T}}$ (GCF\_017876095.1) и A.doebereinerae GSF71<sup>T</sup> (GCF 003989665.1). Предсказание функций идентифицированных последовательностей генов проводили путем выравнивания соответствующих и известных белковых последовательностей (полученных из GenBank), участвующих в биосинтезе О-антигенов других бактерий, с помощью инструмента BLAST (Altschul et al., 1997). Трехбуквенные (wzm и wzt) и четырехбуквенные обозначения (rfbA-rfbD, galE) присвоены генам в соответствии с их аннотациями, а также результатами попарных выравниваний их нуклеотидных последовательностей. Изображение генных кластеров изучаемых штаммов азоспирилл было получено с помощью визуализатора Easyfig версии 2.2.5 (Sullivan et al., 2011). Гомологию нуклеотидных последовательностей генов оценивали с помощью попарных выравниваний соответствующих последовательностей, выполненных с помощью сервиса BLASTn.



**Рис. 1.** Электрофореграмма препаратов липополисахаридов в 13.5% ПААГ в присутствии додецилсульфата натрия: *A. agricola* CC-HIH038<sup>T</sup> (*I*), *Pseudomonas puti*da TSh-18 B2 (*2*).

#### РЕЗУЛЬТАТЫ И ОБСУЖДЕНИЕ

Характеристика липополисахарида и анализ структуры О-специфического полисахарида А. agricola СС-НІН038<sup>Т</sup>. Методом водно-фенольной экстракции из высушенной биомассы бактерий А. agricola НІН038<sup>T</sup> был выделен ЛПС. Ds-Na-электрофорез препарата ЛПС с окрашиванием серебром (рис. 1) демонстрировал типичную для ЛПС азоспирилл картину с преобладанием молекул ЛПС в верхней части геля, свидетельствующим о высокой

степени замещения корового олигосахарида цепями О-специфического полисахарида.

Анализ состава жирных кислот в ЛПС выявил присутствие характеристичных для бактерий рода *Аzospirillum* (Сигида и соавт., 2022) 3-гидрокситетрадекановой, 3-гидроксигексадеканой, гексадекановой и октадеценовой кислот, а также еще одного компонента, который по времени удерживания был предварительно идентифицирован нами как 3-гидроксиоктадекановая кислота. В результате анализа моносахаридов методами ГЖХ ацетатов полиолов и ацетилированных (*S*)-октилгликозидов в составе ОПС *А. agricola* НІН038<sup>Т</sup> были идентифицированы L-Rha и D-GlcNAc в соотношении 3: 1.

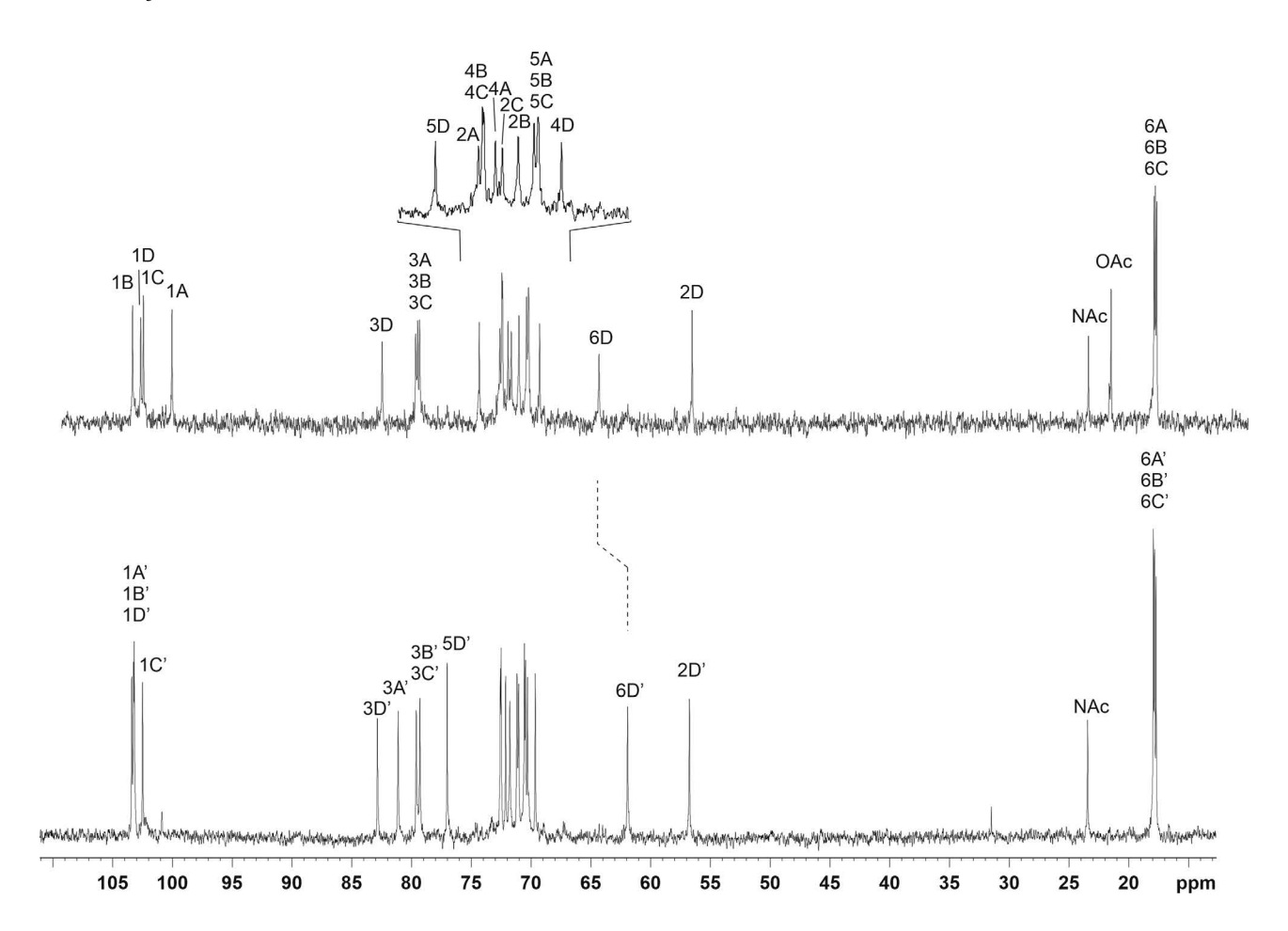
ОПС был подвергнут комплексному анализу методом спектроскопии ЯМР. Спектр  $^{13}$ С ЯМР ОПС (рис. 2) содержал сигналы четырех аномерных углеродов при  $\delta$  100.1—103.4 м.д., трех  $CH_3$ -С групп (С-6 Rha) при  $\delta$  17.7, 17.8 и 17.9 м.д., одной  $OCH_2$ -С группы (С-6 GlcNAc) при  $\delta$  64.4 м.д., одного атома углерода, связанного с азотом, при  $\delta$  56.6 м.д., сигналы О-ацетильных групп при  $\delta$  21.5 (СН<sub>3</sub>), 174.1 и 175.3 м.д. (СО), и шестнадцать

сигналов других атомов углерода моносахаридных остатков при  $\delta$  69.3—82.5 м.д.

В спектре отсутствовали сигналы в диапазоне при  $\delta$  83–88 м.д., характеристичные для фуранозидов (Bock, Pedersen, 1983), что свидетельствовало о том, что все моносахаридные остатки находятся в пиранозной форме. В сильнопольной области <sup>1</sup>H ЯМР спектра присутствовало пять сигналов протонов в диапазоне  $\delta$  4.76–5.31 м.д., трех  $CH_3$ -С групп (H-6 Rha) при  $\delta$  1.24–1.32 м.д., сигналы О-ацетильных групп при  $\delta$ <sub>H</sub> 2.12 и 2.16 м.д. и других протонов моносахаридных остатков в диапазоне  $\delta$  3.57–4.14 м.д.

Спектры  ${}^{13}$ С и  ${}^{1}$ Н ЯМР ОПС были отнесены с помощью 2D экспериментов  ${}^{1}$ Н,  ${}^{1}$ Н COSY, TOCSY, ROESY и  ${}^{1}$ Н,  ${}^{13}$ С HSQC и HMBC (табл. 1).

Прослеживание корреляций в  $^{1}$ H,  $^{1}$ H COSY и TOCSY спектрах, в сочетании со значениями констант спин-спинового взаимодействия  $^{3}$ J<sub>H,H</sub> (Altona, Haasnoot, 1980) и химическими сдвигами атомов углерода в  $^{13}$ C ЯМР спектрах, позволило выявить спин-спиновые системы трех остатков Rha (A–C) и одного остатка GlcNAc (D).



**Рис. 2.**  $^{13}$ С-ЯМР-спектр О-специфического полисахарида *А. agricola* СС-НІН038<sup>Т</sup>. Арабские цифры относятся к атомам углерода в моносахаридных остатках, обозначенных, как указано в табл. 1.

Относительно сильнопольное положение сигналов С-5 остатков **A**, **B** и **C** при  $\delta$  70.2-70.4 м.д. и относительно слабопольное положение сигнала С-5 остатка **D** при  $\delta$  74.4 м.д. свидетельствовали об  $\alpha$ -конфигурации остатков **A**, **B** и **C** и  $\beta$ -конфигурации остатка **D** (Bock, Pedersen, 1983). Наличие характеристичных для  $\alpha$ -аномеров H-1/H-2 корреляций у остатков **A**, **B** и **C** и характеристичных для  $\beta$ -аномеров H-1/H-3, H-1/H-5 корреляций у остатка **D** в спектрах  $^1$ H,  $^1$ H ROESY подтверждало аномерные конфигурации моносахаридных остатков (рис. 3).

Значительное смещение сигналов С-3 всех моносахаридных остатков, по сравнению с незамещенными моносахаридами (Bock, Pedersen, 1983), указывало на позиции гликозилирования. Последовательность моносахаридов в повторяющемся звене ОПС была определена на основании межзвеньевых корреляций между аномерными протонами и протонами при связьевых углеродах в спектре <sup>1</sup>H, <sup>1</sup>H ROESY (рис. 3): А H-1/В H-3 при б 5.10/3.90 м.д.; В H-1/С H-3 при б 5.00/3.78 м.д., С H-1/D H-3 при б 4.84/3.62 м.д., D H-1/A H-3 при б 4.76/4.06 м.д. В спектре <sup>1</sup>H, <sup>13</sup>C HMBC (рис. 4)

ОПС присутствовали соответствующие корреляции между аномерными протонами и трансгликозидными углеродами: **A** H-1/**B** C-3 при  $\delta$  5.10/79.7 м.д.; **B** H-1/**C** C-3 при  $\delta$  5.00/79.4 м.д., **C** H-1/**D** C-3 при  $\delta$  4.84/82.5 м.д., **D** H-1/**A** C-3 а при  $\delta$  4.76/79.5 м.д.

Таким образом, ОПС *A. agricola* CC-HIH038<sup>T</sup> имеет следующую структуру  $\rightarrow$ 3)- $\alpha$ -L-Rhap2Ac-(1 $\rightarrow$ 3)- $\alpha$ -L-Rhap-(1 $\rightarrow$ 3)- $\alpha$ -L-Rhap-(1 $\rightarrow$ 3)- $\beta$ -D-GlcpNAc6Ac-(1 $\rightarrow$ .

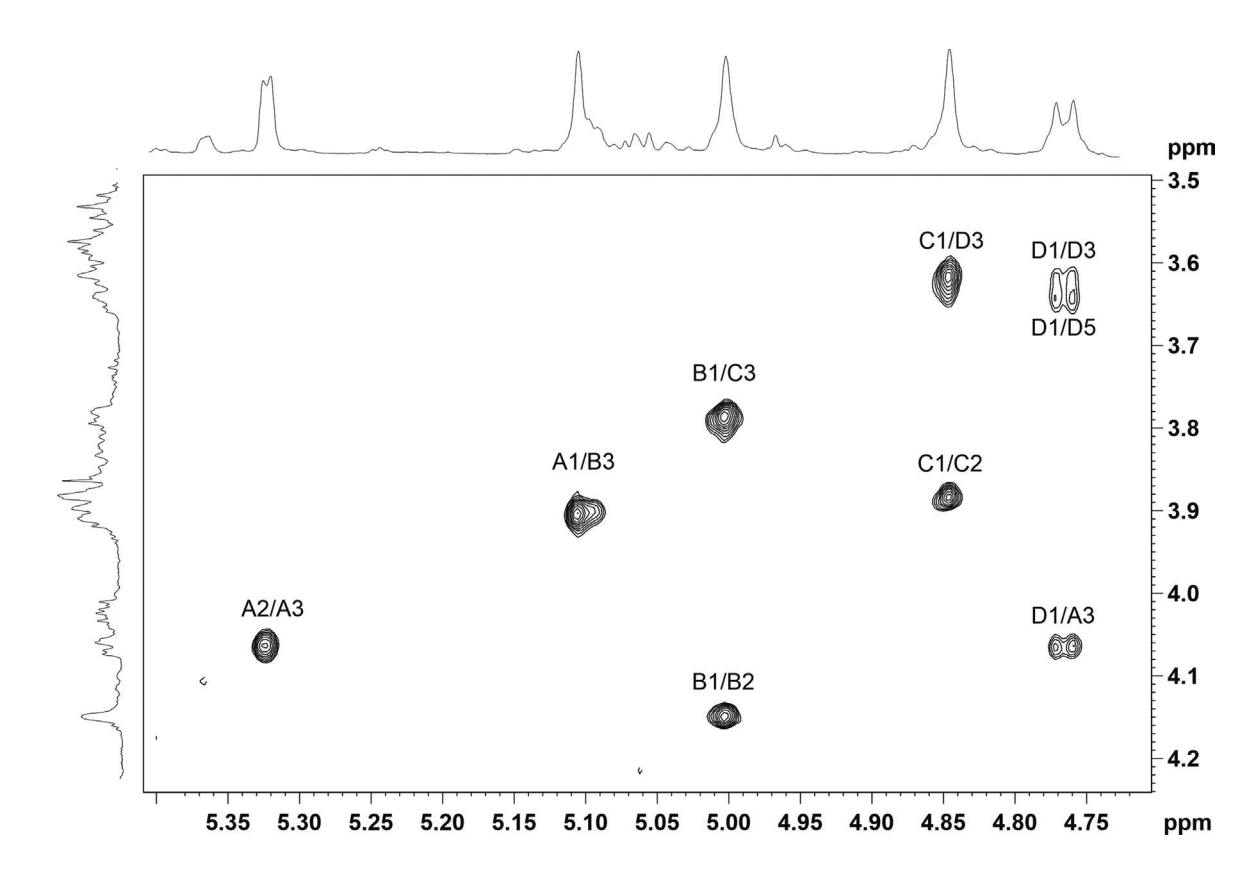
Для подтверждения данной структуры ОПС был дезацилирован в мягких щелочных условиях, и полученный препарат ДПС был исследован с применением <sup>1</sup>Н и <sup>13</sup>С ЯМР спектроскопии, как описано выше для ОПС (табл. 1). Относительно слабопольное положение сигналов H-2, C-2 остатка **A** и H-6(a; b), C-6 остатка **D** в спектре ОПС, по сравнению с ДПС (рис. 2, табл. 1) в сочетании с кратностью интегральной интенсивности сигналов <sup>1</sup>Н спектров ОПС свидетельствовали о полном О-ацетилировании остатка **A** в положении 2 и остатка **D** в положении 6.

Ранее нами была установлена структура ОПС A. doebereinerae GSF71 $^{\rm T}$ , отличающегося от исследуемого в данной работе ОПС степенью

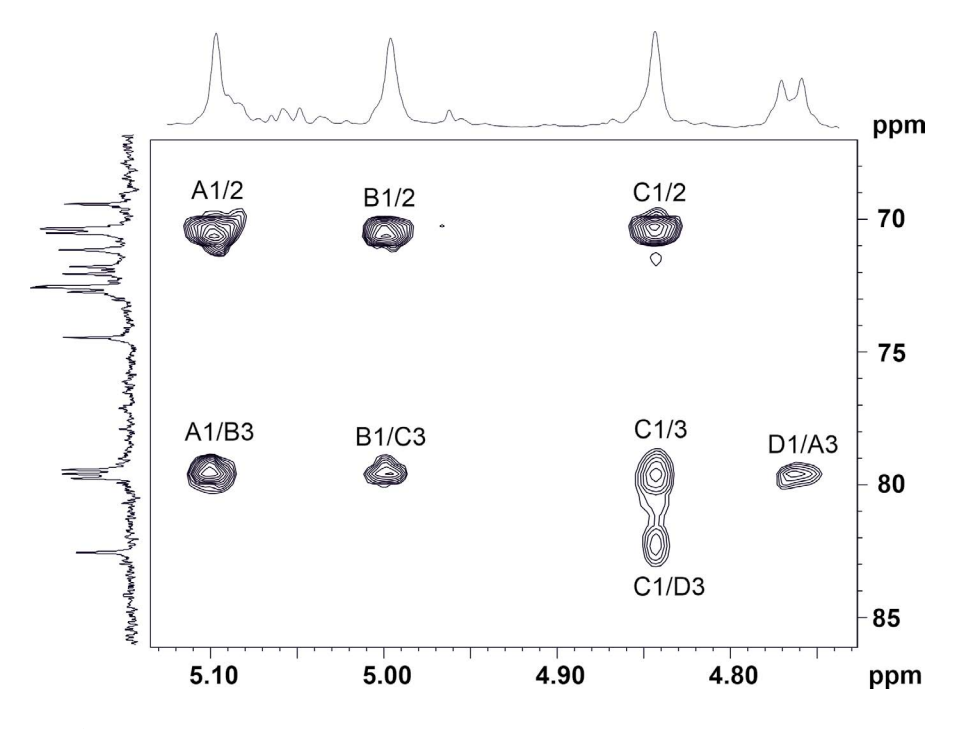
**Таблица 1.** Данные <sup>13</sup>С и <sup>1</sup>H-спектров ЯМР интактного и дезацилированного О-специфического полисахарида *A. agricola* СС-НІН038<sup>T</sup> (химические сдвиги, м.д.)

	Химические сдвиги										
Моносахаридный остаток	Моносахарид							OAc			
	H-1 C-1	H-2 C-2	H-3 C-3	H-4 C-4	H-5 C-5	H-6 (a,6) C-6	CH <sub>3</sub>	СО			
Интактный О-специфический полисахарид											
$\rightarrow$ 3)- $\alpha$ -L-Rha $p$ 2Ac-(1 $\rightarrow$ <b>A</b>	5.10 100.1	5.31 72.6	4.06 79.5	3.57 72.0	3.90 70.2	1.31 17.8	2.12 21.5	174.1			
$\rightarrow$ 3)- $\alpha$ -L-Rha $p$ -(1 $\rightarrow$ <b>B</b>	5.00 103.4	4.14 71.1	3.90 79.7	3.58 72.5	3.82 70.4	1.32 17.9					
$\rightarrow$ 3)- $\alpha$ -L-Rha $p$ -(1 $\rightarrow$ C	4.84 102.5	3.88 71.7	3.78 79.4	3.53 72.4	4.02 70.3	1.24 17.7					
$\rightarrow$ 3)- $\beta$ -D-Glc $p$ NAc6Ac-(1 $\rightarrow$ <b>D</b>	4.76 102.7	3.86 56.6	3.62 82.5	3.61 69.3	3.65 74.4	4.27, 4.34 64.4	2.16 21.5	175.3			
Дезацилированный полисахарид											
$\rightarrow$ 3)- $\alpha$ -L-Rha $p$ -(1 $\rightarrow$ <b>A'</b>	5.03 103.2	4.28 71.0	3.93 81.1	3.52 72.1	3.86 70.5	1.29 17.8					
$\rightarrow$ 3)- $\alpha$ -L-Rha $p$ -(1 $\rightarrow$ <b>B</b> '	5.00 103.4	4.14 71.2	3.89 79.6	3.56 72.5	3.82 70.6	1.32 17.9					
$\rightarrow$ 3)- $\alpha$ -L-Rha $p$ -(1 $\rightarrow$ C'	4.85 102.5	3.88 71.7	3.80 79.3	3.54 72.5	4.03 70.3	1.25 17.7					
$\rightarrow$ 3)-β-D-GlcpNAc-(1 $\rightarrow$ <b>D</b> '	4.76 103.2	3.88 56.7	3.63 82.8	3.54 69.6	3.47 77.0	3.77, 3.93 61.9					

Примечание. Сигналы NAc-группы:  $\delta$  2.04.  $\delta$ <sub>C</sub> 23.4 (CH<sub>3</sub>),  $\delta$ <sub>C</sub> 175.5 (CO) ОПС и  $\delta$ <sub>H</sub> 2.05.  $\delta$ <sub>C</sub> 23.4 (CH<sub>3</sub>),  $\delta$ <sub>C</sub> 175.6 (CO) в ДПС.



**Рис. 3.** Фрагмент <sup>1</sup>H, <sup>1</sup>H ROESY спектра О-специфического полисахарида *А. agricola* СС-НІН038<sup>T</sup>. Арабские цифры относятся к протонам в моносахаридных остатках, обозначенных, как указано в табл. 1.



**Рис. 4.** Фрагмент  $^{1}$ Н,  $^{13}$ С НМВС спектра О-специфического полисахарида *А. agricola* СС-НІН038<sup>Т</sup>. Соответствующие участки  $^{1}$ Н и  $^{13}$ С ЯМР спектров расположены вдоль горизонтальной и вертикальной осей соответственно. Арабские цифры относятся к корреляциям С/Н в моносахаридных остатках, обозначенных, как указано в табл. 1.

О-ацетилирования остатка GlcNAc (~ 20%) (Sigida et al., 2019).

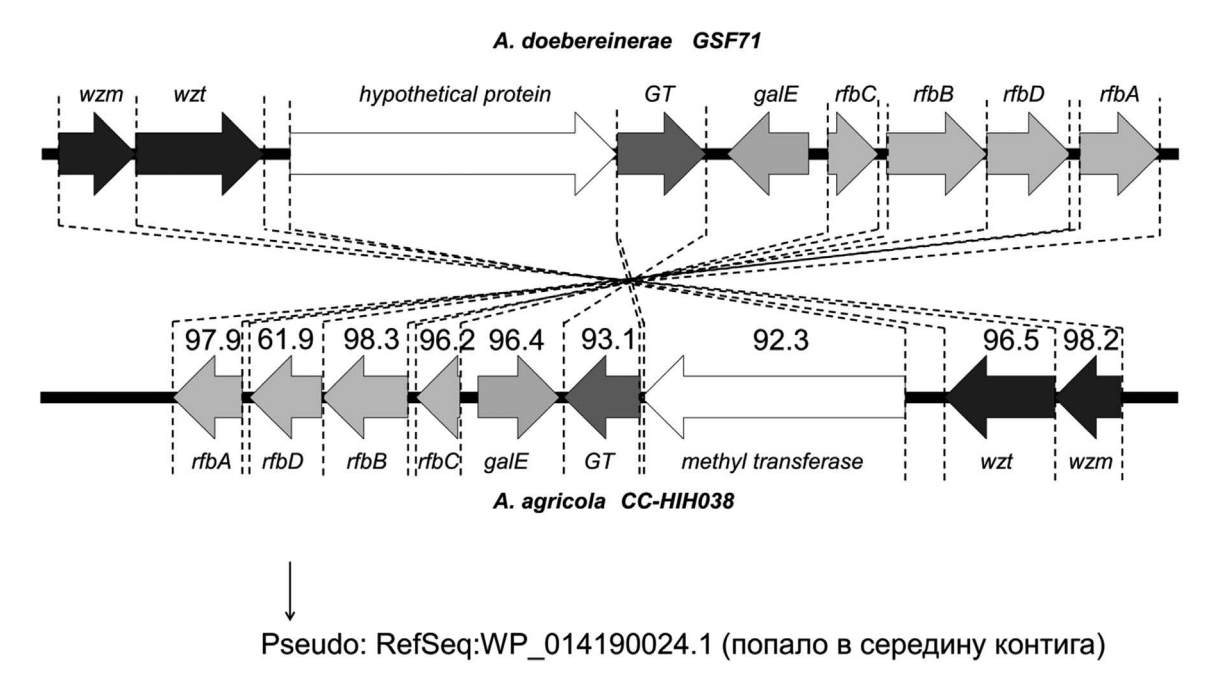
Сравнительный анализ генов, ответственных за биосинтез ОПС, у А. agricola СС-НІН038<sup>Т</sup> и А. doebereinerae GSF71<sup>T</sup>. Род Azospirillum включает 25 видов, и для большинства типовых штаммов установлены структуры О-антигенов, в составе которых отмечено преобладание L-рамнозы (Федоненко и соавт., 2015, Сигида и соавт., 2022). Известно, что структура О-антигенов грамотрицательных бактерий может быть использована в качестве хемотаксономического критерия, а анализ генов кластеров, ответственных за биосинтез О-антигенов, позволяет оценить их эволюционные взаимосвязи.

Рамноза для большого числа бактерий имеет очень важное значение, поскольку входит в состав полисахаридов клеточной стенки у грамположительных бактерий и липополисахаридов у многих грамотрицательных бактерий. Гены, кодирующие ферменты биосинтеза L-рамнозы, обозначаются в разных организмах как *rml*, *rfb* или *rff* A, B, C и D (Mistou et al., 2016).

Для выяснения генетической основы родства близких по структуре ОПС *A. agricola* СС-НІН038<sup>Т</sup> и *А. doebereinerae* GSF71<sup>T</sup> был выполнен анализ данных полногеномного секвенирования исследуемых штаммов. Было показано, что локусы биосинтеза ОПС двух исследуемых штаммов очень схожи по содержанию генов и организации (рис. 5).

Они содержали наборы генов, транскрибируюшихся в одном направлении и кодирующих ферменты биосинтеза нуклеотиддифосфатного производного L-Rha (rfbA, rfbB, rfbC, rfbD), гликозилтрансферазы, а также ферменты процессинга, обеспечивающие трансмембранный перенос повторяющегося звена (wzt, wzm). Характеристики всех открытых рамок считывания и их гомологов, выявленных нами с помощью биоинформатического анализа, приведены в табл. 2. Следует отметить, что довольно часто кластер генов, участвующих в биосинтезе О-антигена, ограничен двумя консервативными генами, например, v Escherichia coli и родственных им бактерий он расположен на хромосоме между консервативными генами galF и gnd (Liu et al., 2020). Пока нам не удалось выявить аналогичной закономерности у азоспирилл, что, возможно, обусловлено ограниченностью сведений об организации их генных кластеров биосинтеза О-антигенов.

Инициация синтеза полимерной цепи ОПС, как правило, начинается с переноса N-ацетилглюкозамин-1-фосфата на ундекапренилфосфат и образования так называемого "праймера ОПС". Эта реакция катализируется GlcNAc-1фосфат-трансферазой (WecA), относящейся к семейству трансфераз (PNPT), участвующих в сборке гликанов бактериальной клеточной поверхности (Woodward, Naismith, 2016). В составе ОПС A. agricola CC-HIH038<sup>T</sup> и A. doebereinerae GSF71<sup>T</sup> выявлен остаток GlcNAc, который, с высокой



**Рис. 5.** Схематичное расположение кластеров генов биосинтеза О-антигенов *A. doebereinerae* GSF71<sup>T</sup> и *A. agricola* CC-HIH038<sup>T</sup>. Светло-серыми стрелками обозначены гены биосинтеза моносахаридов, темно-серыми — гликозилтрансферазы, черными — гены процессинга *wzt* и *wzm*, белыми — гены с неизвестными функциями.

**Таблица 2.** Белки биосинтеза O-антигенов A. agricola CC-HIH038 $^{T}$  и A. doebereinerae GSF71 $^{T}$  и их ближайшие гомологи

		Штамм (код доступа)						
Ген		A. agricola (GCF_0)	CC-HIH038 <sup>T</sup> 17876095.1)	A. doebereinerae GSF71 <sup>T</sup> (VTTN01000010.1)				
	Кодируемый белок	CDS (ID белка)	Ближайший гомолог* покрытие/иден-тичность (длина совпадающего фрагмента)	CDS (ID белка)	Ближайший гомолог* Покрытие/идентич- ность (длина совпа- дающего фрагмента)			
wzm	АВС-транспортная пермеаза	1245613289** (WP_209782658.1)	<i>Nitrospira</i> sp. (MCA9458094.1) 97/60 (271)	4414844981 (RUQ68956.1)	Nitrospira sp. (MCA9458094.1) 97/60 (271)			
wzt	АВС-транспортный АТФ-связывающий белок	1108412466 (WP_014190028.1)	Negativicutes bacteri- um (MDR3564473.1) 95/76 (440)	4497146350 (RUQ68834.1)	Negativicutes bacterium (MDR3564473.1) 95/76 (440)			
MT	SAM-зависимая метилтрансфераза класса 1	729510591 (WP_209782630.1)	Rhodospirillaceae bacterium (MBT4739842.1) 99/47 (1045)	4662650132 (RUQ68835.1)	Rhodospirillaceae bacterium (MBT4739842.1) 94/47 (1045)			
GT	Гликозилтрансфераза	63277286 (WP_209782629.1)	Rhodospirillaceae bacterium (MDX2225046.1) 91/57 (304)	5014151085 (RUQ68836.1)	Pseudomonadota bacterium (MCA0201587.1) 90/58 (291)			
GalE	UDP-глюкозо 4-эпимераза	52566278 (WP_209782628.1)	Thalassospira sp. TSL5-1 (WP_073954240.1) 94/65 (331)	5113452156 (complement) (RUQ68837.1)	Alphaproteobacteria bacterium (GIK99467.1) 96/70 (332)			
rfbC	dTDP-4- дегидро-маннозо 3,5-эпимераза	44755026 (complement) (WP_209782627.1)	<i>Methylobacte-</i> <i>rium</i> sp. <i>B34</i> (WP_042673940.1) 100/79 (183)	5238652937 (RUQ68838.1)	Methylobacterium sp. B34 (WP_042673940.1) 100/78 (183)			
rfbB	dTDP-глюкозо-4,6- дегидратаза	33024378 (complement) (WP_209782626.1)	Pararhodospirillum photometricum (WP_051013520.1) 97/79 (353)	5301854097 (RUQ68839.1)	P. photometricum DSM 122 (CCG06590.1) 96/79 (358)			
rfbD	dTDP-4-дегидроман- нозоредуктаза	2397>3299 (complement) неполный RefSeq: WP_014190024.1	P. photometricum DSM 122 (CCG06589.1) 98/63 (300)	5409454993 (RUQ68840.1)	Pararhodospirillum photometricum DSM 122 (CCG06589.1) 98/62 (300)			
rfbA	Глюкозо-1-фосфат тимидил-трансфераза	14412304 (complement) (WP_209782624.1)	P. photometricum (WP_041795448.1) 100/79 (288)	5508655949 (RUQ68841.1)	P. photometricum (WP_041795448.1) 98/80 (288)			

<sup>\*</sup>Бактерия (код GenBank ближайшего гомолога). \*\*Нумерация в контиге Ga0451084\_35.

долей вероятности, можно считать первым в биологическом повторяющемся звене. Однако нам не удалось идентифицировать в геномах обоих штаммов гены гомологичные *wecA*, охарактеризованным у других бактерий.

Гены биосинтеза нуклеотидного предшественника D-GlcNAc относятся к так называемым генам "домашнего хозяйства" и обычно не входят в специфическую область генного кластера ОПС. Три остальных моносахарида в повторяющемся

звене ОПС исследуемых штаммов представлены 3-замещенными остатками L-Rhap, синтез предшественника которых дезокситимидиндифосфат-L-рамнозы осуществляют четыре фермента: глюкозо-1-фосфаттимидилтрансфераза (RfbA), dTDP-D-глюкозо-4,6-дегидратаза (RfbB), dTDP-4-кето-6-дезокси-D-глюкозо-3,5-эпимераза (RfbC) и dTDP-4-кето-L-Rha редуктаза (RfbD) (Li et al., 2022), кодируемые генами rfbABCD, располагающимися в кластере в консервативном порядке (Madduri et al., 2001).

В локусе выявлен ген гликозилтрансферазы (GT) (табл. 2), биоинформатический анализ которого не демонстрировал существенной гомологии с охарактеризованными генами рамнозилтрансфераз у ограниченного числа бета- и гамма-протеобактерий (Pseudomonas spp., Burkholderia spp., Neisseria spp., Bordetella spp., Acinetobacter baumannii), что может быть обусловлено вариабельностью структур данного фермента у представителей филогенетически удаленных групп. Следует отметить, что для классификации большого семейства гликозилтрансфераз используют три основных подхода, основанные на: а) анализе аномерной конфигурации реагентов и продуктов реакции, соответственно выделяющие инвертирующие или удерживающие (сохраняющие конфигурацию) GT; б) топологии GT, т.е. характеристике доменной структуры (укладки Россмана) и расположения доноров и акцепторов — GT-A, GT-B и GT-C; в) гомологии последовательностей — 135 различных семейств GT (по состоянию на 15 апреля 2024 г.) в базе данных Carbohydrate-Active enZYmes (http://www.cazy.org). При широкой распространенности у бактерий рамнозосодержащих полимеров очевидно присутствие отнесенных по классификации CAZy к классу GT-2 рамнозилтрансфераз, сведения о структурных и биохимических особенностях которых остаются лимитированы (Kenyon et al., 2021a, 2021b).

Таким образом, генетические данные, в целом, согласуются с установленными структурами ОПС и могут быть использованы при разработке молекулярной основы для хемотипической классификации штаммов азоспирилл. Учитывая востребованность азоспирилл для биотехнологического использования, а также возникающие противоречия осуществляемого почти исключительно путем секвенирования 16S рРНК (Maronishe et al., 2017), в качестве альтернативных маркеров можно использовать хемотипирование на основании структур О-антигенов и сходство генов их биосинтеза.

#### БЛАГОДАРНОСТИ

Работа выполнена с использованием оборудования Дальневосточного центра структурных

молекулярных исследований (ЯМР- и масс-спектрометрии) (ЦСМИ ТИБОХ ДВО РАН).

#### СОБЛЮДЕНИЕ ЭТИЧЕСКИХ СТАНДАРТОВ

Настоящая статья не содержит описания какихлибо исследований с участием людей или животных в качестве объектов.

#### КОНФЛИКТ ИНТЕРЕСОВ

Авторы заявляют об отсутствии конфликта интересов.

#### СПИСОК ЛИТЕРАТУРЫ

- Кульшин В.А., Яковлев А.П., Аваева С.Н., Дмитриев Б.А. Улучшенный метод выделения липополисахаридов из грамотрицательных бактерий // Мол. генетика, микробиология и вирусология. 1987. № 5. С. 44—46.
- Kulshin V.A., Yakovlev A.P., Avaeva S.N., Dmitriev B.A. An improved method for the isolation of lipopolysaccharides from Gram-negative bacteria // Mol. genetics, microbiology and virology. 1987. № 5. P. 44–46.
- Сигида Е.Н., Гринев В.С., Здоровенко Э.Л., Дмитренок А.С., Бурыгин Г.Л., Кондюрина Н.К., Коннова С.А., Федоненко Ю.П. Характеристика структуры и генов биосинтеза О-антигенов Azospirillum zeae N7(T), Azospirillum melinis TMCY0552(T) и Azospirillum palustre B2(T) // Биоорг. химия. 2022. Т. 48. С. 302—312.
- Sigida E.N., Grinev V.S., Zdorovenko E.L., Dmitrenok A.S., Burygin G.L., Kondurina N.K., Konnova S.A., Fedonenko Y.P. O-Antigens of Azospirillum zeae N7 (T), Azospirilum melinis TMCY0552 (T), and Azospirillum palustre B2 (T): structure eucidation and analysis of biosynthesis genes // Rus. J. Bioorg. Chem. 2022. V. 48. P. 519–528.
- Федоненко Ю. П., Сигида Е. Н., Коннова С. А., Игнатов В. В. Структура и серология О-антигенов азотфиксирующих ризобактерий рода Azospirillum // Известия АН. Сер. химическая. 2015. Т. 64. С. 1024—1031.
- Fedonenko Y.P., Sigida E.N., Konnova S.A., Ignatov V.V. Structure and serology of O-antigens of nitrogen-fixing rhizobacteria of the genus *Azospirillum* // Rus. Chem. Bull. 2015. V. 64. P. 1024–1031.
- Altona C., Haasnoot C.A.G. Prediction of anti and gauche vicinal proton-proton coupling constants in carbohydrates: a simple additivity rule for pyranose rings // Org. Magn. Reson. 1980. V. 13. P. 417–429.
- Altschul S.F., Madden T.L., Schäffer A.A., Zhang J., Zhang Z., Miller W., Lipman D.J. Gapped BLAST and PSI-BLAST: a new generation of protein database search programs // Nucl. Acids Res. 1997. V. 25. P. 3389–3402.

- Bock K., Pedersen C. Carbon-13 nuclear magnetic resonance spectroscopy of monosaccharides // Adv. Carbohydr. Chem. Biochem. 1983. V. 41. P. 27–66.
- Caroff M., Novikov A. Lipopolysaccharides: structure, function and bacterial identification // OCL. 2020. V. 27. Art. 31.
- Cassán F., Coniglio A., López G., Molina R., Nievas S., Le Noir de Carlan C., Donadio F., Torres D., Rosas S., Pedrosa F.O., de Souza E., Zorita M.D., de-Bashan L., Mora V. Everything you must know about Azospirillum and its impact on agriculture and beyond // Biol. Fertil. Soils. 2020. V. 56. P. 461–479.
- Fukami J., Cerezini P., Hungria M. Azospirillum: benefits that go far beyond biological nitrogen fixation // Amb. Express. 2018. V. 8. Art. 73.
- Hitchcock P.J., Brown T.M. Morphological heterogeneity among Salmonella lipopolysaccharide chemotypes in silver-stain polyacrylamide gels // J. Bacteriol. 1983. V. 154. P. 269–277.
- Kenyon J.J., Arbatsky N.P., Sweeney E.L., Zhang Y., Senchenkova S.N., Popova A.V., Shneider M.M., Shashkov A.S., Liu B., Hall R.M., Knirel Y.A. Involvement of a multifunctional rhamnosyltransferase in the synthesis of three related *Acinetobacter baumannii* capsular polysaccharides K55, K74 and K85 // Int. J. Biol. Macromol. 2021a. V. 166. P. 1230–1237.
- Kenyon J.J., Kasimova A.A., Sviridova A.N., Shpirt A.M., Shneider M.M., Mikhaylova Y.V., Shelenkov A.A., Popova A.V., Perepelov A.V., Shashkov A.S., Dmitrenok A.S. Correlation of Acinetobacter baumannii K144 and K86 capsular polysaccharide structures with genes at the K locus reveals the involvement of a novel multifunctional rhamnosyltransferase for structural synthesis // Int. J. Biol. Macromol. 2021b. V. 193. P. 1294–1300.
- Konnova S.A., Makarov O.E., Skvortsov I.M., Ignatov V.V. Isolation, fractionation and some properties of polysaccharides produced in a bound form by Azospirillum brasilense and their possible involvement in Azospirillum wheat root interaction // FEMS Microbiol. Lett. 1994. V. 118. P. 93–99.
- Leontein K., Lindberg B., Lönngren J. Assignment of absolute configuration of sugars by g.l.c. of their acetylated glycosides formed from chiral alcohols // Carbohydr. Res. 1978. V. 62. P. 359-362.
- Li S., Chen F., Li Y., Wang L., Li H., Gu G., Li E. Rhamnose-containing compounds: biosynthesis and applications // Molecules. 2022. V. 27. Art. 5315.
- Liu B., Furevi A., Perepelov A.V., Guo X., Cao H., Wang Q., Reeves P.R., Knirel Y.A., Wang L., Widmalm G.

- Structure and genetics of *Escherichia coli* O antigens // FEMS Microbiol. Rev. 2020. V. 44. P. 655–683.
- Madduri K., Waldron C., Merlo D.J. Rhamnose biosynthesis pathway supplies precursors for primary and secondary metabolism in Saccharopolyspora spinosa // J. Bacteriol. 2001. V. 183. P. 5632–5638.
- Maroniche G.A., García J.E., Salcedo F., Creus C.M. Molecular identification of Azospirillum spp.: limitations of 16S rRNA and qualities of rpoD as genetic markers // Microbiol. Res. 2017. V. 195. P. 1–10.
- Mayer H, Tharanathan R, Weckesser J. Analysis of lipopolysaccharides of gram-negative bacteria // Meth Microbiol. 1985. V. 18. P. 157–207.
- Mistou M. Y., Sutcliffe I. C., van Sorge N. M. Bacterial glycobiology: rhamnose-containing cell wall polysaccharides in Gram-positive bacteria // FEMS Microbiol. Rev. 2016. V. 40. P. 464–479.
- Nievas S., Coniglio A., Takahashi W.Y., López G.A., Larama G., Torres D., Rosas S., Etto R.M., Galvão C.W., Mora V., Cassán F. Unraveling Azospirillum's colonization ability through microbiological and molecular evidence // J. App. Microbiol. 2023. V. 134. Art. lxad071.
- Pedraza R.O., Filippone M.P., Fontana C., Salazar S.M., Ramírez-Mata A., Sierra-Cacho D., Baca B.E.
  Chapter 6 Azospirillum // Beneficial Microbes in Agro-Ecology: Bacteria and Fungi/ Eds. Amaresan N., Senthil Kumar M., Annapurna K., Kumar K., Sankaranarayanan A. Elsevier, Academic Press, 2020. P. 73–105.
- https://doi.org/10.1016/B978-0-12-823414-3.00006-X *Sawardeker J.S., Sloneker J.H., Jeanes A.* Quantitative determination of monosaccharides as their alditol acetates by gas liquid chromatography // Anal. Chem. 1965. V. 37. P. 1602–1603.
- Sigida E. N., Fedonenko Y. P., Shashkov A. S., Zdorovenko E. L., Konnova S. A., Knirel Y. A. Structure of the O-specific polysaccharide of Azospirillum doebereinerae type strain GSF71T // Carbohydr. Res. 2019. V. 478. P. 54–57.
- Sullivan M.J., Petty N.K., Beatson S.A. Easyfig: a genome comparison visualizer // Bioinformatics. 2011. V. 27. P. 1009–1010.
- *Tsai C.M., Frasch C.E.* A sensitive silver stain for detecting lipopolysaccharides in polyacrylamide gels // Anal. Biochem. 1982. V. 119. P. 115–119.
- Woodward L., Naismith J.H. Bacterial polysaccharide synthesis and export // Curr. Opin. Struct. Biol. 2016. V. 40. P. 81–88.

#### = EXPERIMENTAL ARTICLES =

# Structural and Genetic Relationship of the O-Antigens of the Type Strains *Azospirillum agricola* CC-HIH038 and *Azospirillum doebereinerae* GSF71

E. N. Sigida<sup>1, \*</sup>, V. S. Grinev<sup>1, 2</sup>, M. S. Kokoulin<sup>3</sup>, S. A. Konnova<sup>1, 2</sup>, Y. P. Fedonenko<sup>1</sup>

<sup>1</sup>Institute of Biochemistry and Physiology of Plants and Microorganisms,
FRC Saratov Scientific Centre of Russian Academy of Sciences, 13, Prospekt Entuziastov, Saratov, 410049, Russia

<sup>2</sup>Chernyshevky Saratov State University, 83, Ulitsa Astrakhanskaya, Saratov, 410012, Russia

<sup>3</sup>G.B. Elyakov Pacific Institute of Bioorganic Chemistry, Far Eastern Branch, Russian Academy of Sciences,

159/2, Prospekt 100 let Vladivostoku, Vladivostok, 690022, Russia

\*e-mail: sigida e@ibppm.ru

Lipopolysaccharide was isolated from cells of the type strain of rhizobacteria *Azospirillum agricola* CC-HIH038<sup>T</sup> by phenol extraction. O-specific polysaccharide was obtained by mild acid hydrolysis of lipopolysaccharide followed by chromatographic fractionation. On the basis of monosaccharide analysis, including determination of absolute configurations, 1D and 2D <sup>1</sup>H and <sup>13</sup>C NMR spectroscopy, the following structure of the O-specific polysaccharide repeating unit of *A. agricola* CC-HIH038<sup>T</sup> was elucidated:  $\rightarrow$ 3)-α-L-Rhap2Ac-(1 $\rightarrow$ 3)-α-L-Rhap-(1 $\rightarrow$ 3)-α-L-Rhap-(1 $\rightarrow$ 3)-β-D-GlcpNAc6Ac-(1 $\rightarrow$ 4, which is structurally related to *A. doebereinerae* GSF71<sup>T</sup>. Based on the analysis of full-genome sequencing data for strains *A. agricola* CC-HIH038<sup>T</sup> and *A. doebereinerae* GSF71<sup>T</sup> the O-specific polysaccharide biosynthesis loci were identified, which were characterized by a similar organization and a high level of gene homology, confirming the common structure of the O-antigens of these strains.

**Keywords:** *Azospirillum*, lipopolysaccharide, O-specific polysaccharide, O-specific polysaccharide structure, O-antigen biosynthesis gene cluster